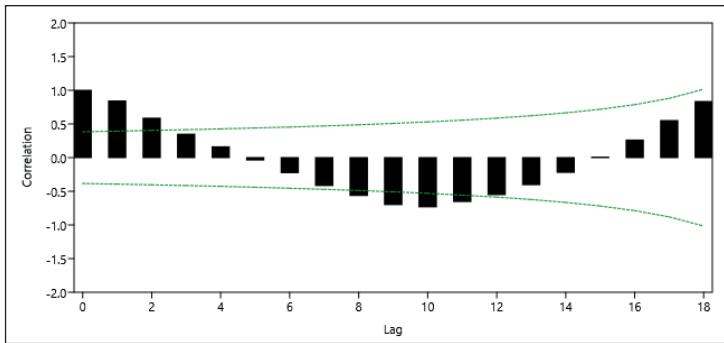
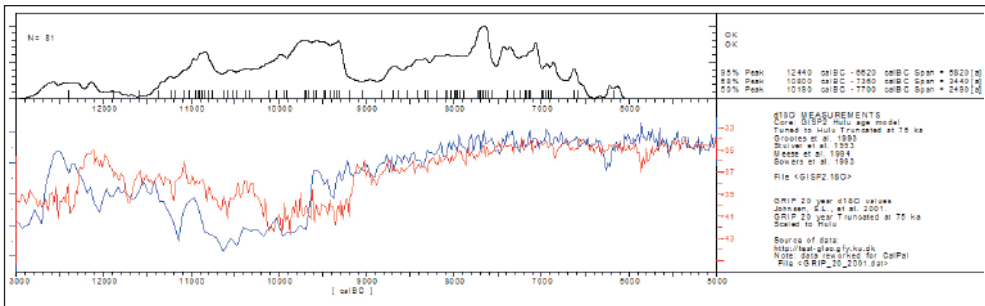


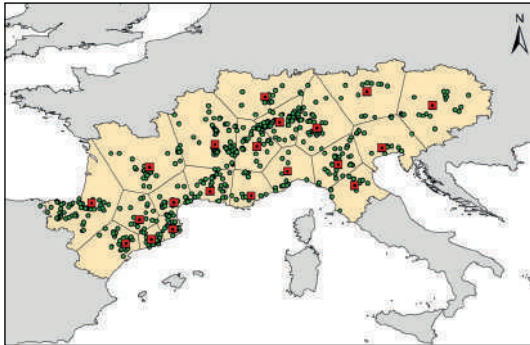
**Figura 19.8.** Representación de los cambios no lineales/ no monótonos de la variable dependiente a lo largo de una escala temporal por medio de curvas con distinto exponente.



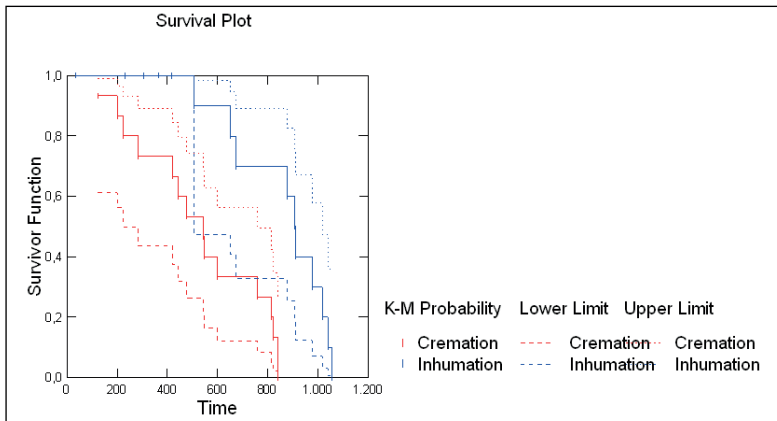
**Figura 19.15.** Correlograma de valores de autocorrelación temporal para distintos retardos de la serie temporal que se muestra en la figura 19.12.



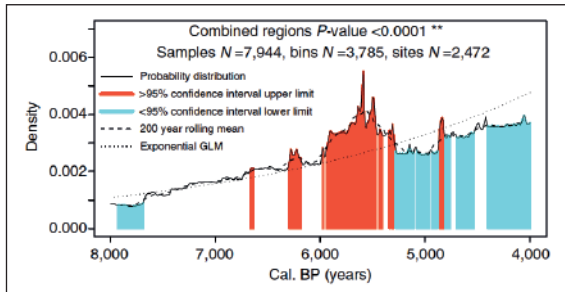
**Figura 19.16.** Comparación de la serie temporal definida por la suma de intervalos de probabilidad de todas las dataciones radiométricas publicadas en el nordeste de la península ibérica para el intervalo 12000-6000 ANE (Barceló 2008), y la secuencia de mediciones de ratio de isótopo estable oxígeno-18 y oxígeno-16 ( $d^{18}O$ ) usada como estimación de media global de paleotemperatura ambiental (Johnsen et al. 2001). Calculado usando el programa CalPal (<http://www.calpal-online.de/>).



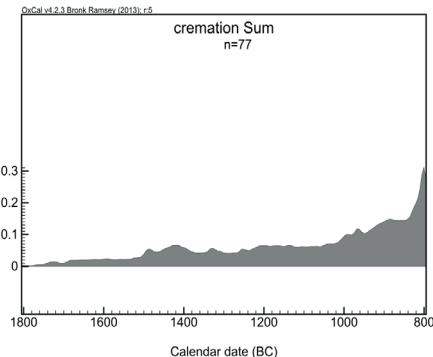
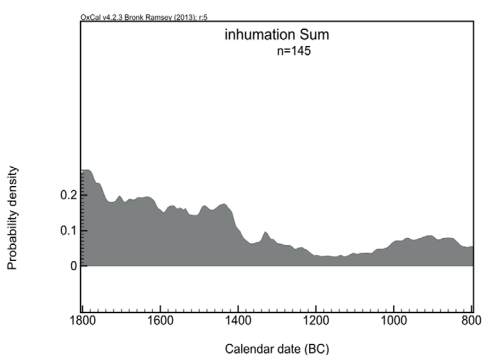
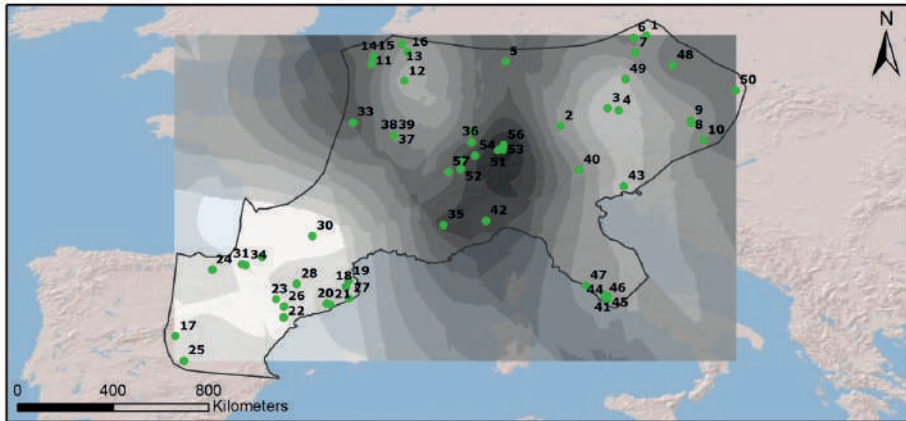
**Figura 19.17.** Yacimientos arqueológicos datados en el intervalo temporal -1800-750 en Europa Occidental, y división en regiones naturales del espacio comprendido entre la meseta alpina y el mediterráneo septentrional (Barceló et al. 2016).



**Figura 19.19.** Relación entre la supervivencia de las tradiciones y la adopción de nuevos rasgos culturales. La probabilidad de supervivencia de la tradición era siempre mayor que la probabilidad de resistencia al cambio. La cremación en ningún caso sustituyó por completo el ritual anterior (Barceló et al. 2016).

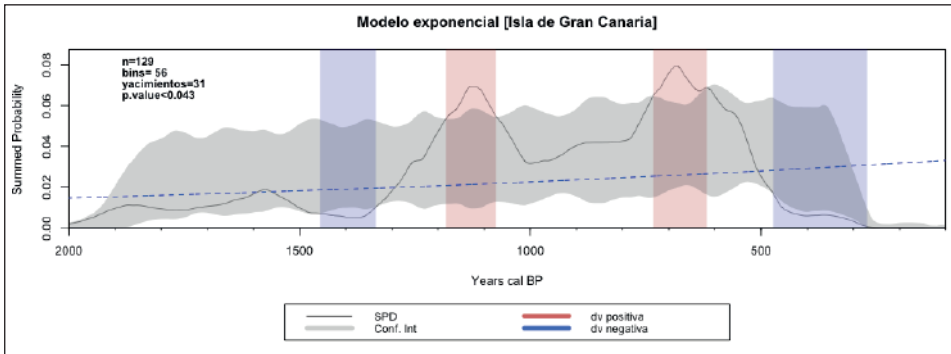


**Figura 20.4.** Inferencias demográficas a partir de la suma de probabilidad. En la parte central, en gris más oscuro, se muestran las desviaciones positivas, y en los extremos, color gris más claro, las negativas (Shennan et al. 2013: figura 4)



**Figura 20.7.** Dinámica expansiva del fenómeno histórico de la adopción del rito funerario de la incineración en urna a partir del 900 cal BC. En la figura superior, las isólinas muestran distancias temporales entre el momento de adopción de rito de la incineración. En negro los lugares en los que la adopción se produjo “antes” y en blanco los lugares en los que se adoptó con mayor posterioridad. En la parte inferior de la figura se muestran, sumatorios de probabilidad de dataciones que sugieren la disminución progresiva de la frecuencia de las inhumaciones a lo largo de la escala calendárica y el aumento de enterramientos de incineración en urna. Fuente, Capuzzo (2014).





**Figura 20.11.** Aplicación del método UCL a las fechas radiométricas de la Isla de Gran Canaria realizando 100 000 simulaciones Montecarlo. Modelo de crecimiento teórico = exponencial.